

SZABTECH 4. GYAKORLAT
ELLENÖRZŐ KÉRDÉSEINEK
KIDOLGOZÁSA

① $i_T(t) = \sum_{n=0}^{\infty} \delta(t-nT)$ ← Indjuk: $\mathcal{L}\{\delta(t)\} = 1$ és $\mathcal{L}\{f(t-T)\} = e^{-sT}$
(eltolási-tétel)

↓

$$I_T(s) = \mathcal{L}\{i_T(t)\} = \sum_{n=0}^{\infty} 1 \cdot e^{-s \cdot nT} = \frac{1}{1 - e^{-sT}} = I_T(s)$$

↑

Geometriai sor összegképlete: $S = a_1 + a_1 \cdot q + a_1 \cdot q^2 + \dots = \frac{a_1}{1-q}$

Pólusok: $1 - e^{-sT} = 0 \Rightarrow 1 = e^{-sT} = 1 \cdot e^{j2k\pi}$
"1" exponenciális alakban

$$-sT = j2k\pi$$

Végtelen sok pólusa van! → $s = -j \frac{2k\pi}{T}$, ahol $k = 0, \pm 1, \pm 2, \dots$

② $f^*(t) = f(t) \cdot i_T(t)$ ← $i_T(t) = \sum_{n=0}^{\infty} \delta(t-nT)$

⇓

Komplex konvolúciós tétel miatt:

$$F^*(s) = \frac{1}{2\pi \cdot j} \int_{c-j\infty}^{c+j\infty} F(\sigma) \cdot \frac{1}{1 - e^{-(s-\sigma)T}} d\sigma$$

* Residuum-tétel szerint (negatív irányítást figyelembe véve):

$$F^*(s) = - \sum_{k=-\infty}^{\infty} \text{Res}_{\sigma_k} \left\{ F(\sigma) \cdot \frac{1}{1 - e^{-(s-\sigma)T}} \right\}$$

↓

$$\text{Res}_{\sigma_k} = \lim_{\sigma \rightarrow \sigma_k} (\sigma - \sigma_k) \cdot F(\sigma) \cdot \frac{1}{1 - e^{-(s-\sigma)T}} = - \frac{F(\sigma)}{T}$$

L'Hospital szabályát felhasználva!

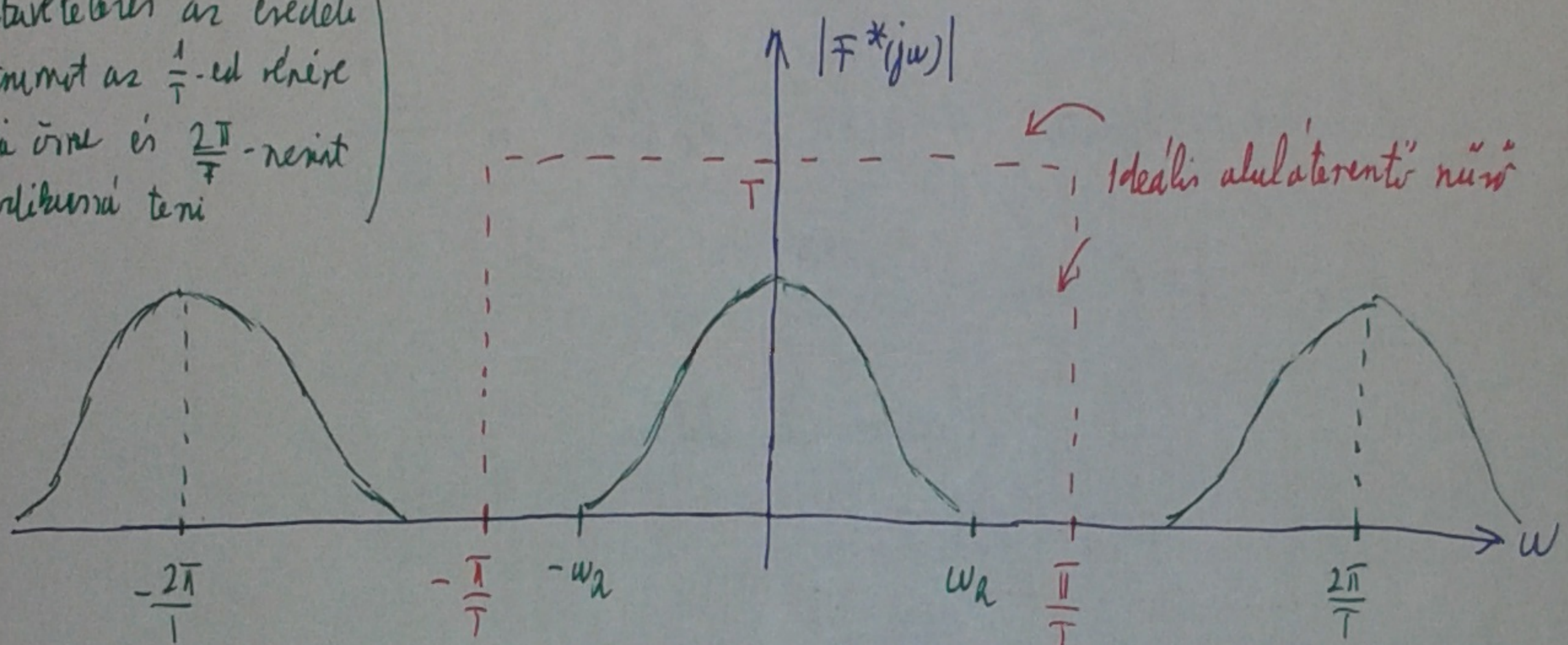
Tehát $F^*(\omega)$ is speciálisan $F^*(j\omega)$ periodikus is az alábbi alakú:

$$F^*(j\omega) = \frac{1}{T} \sum_{k=-\infty}^{\infty} F\left(j \cdot \left(\omega + k \cdot \frac{2\pi}{T}\right)\right) \quad \leftarrow \text{Levegőt nem kötelező megtanulni!}$$

\Rightarrow T periódus hossza: $\frac{2\pi}{T}$

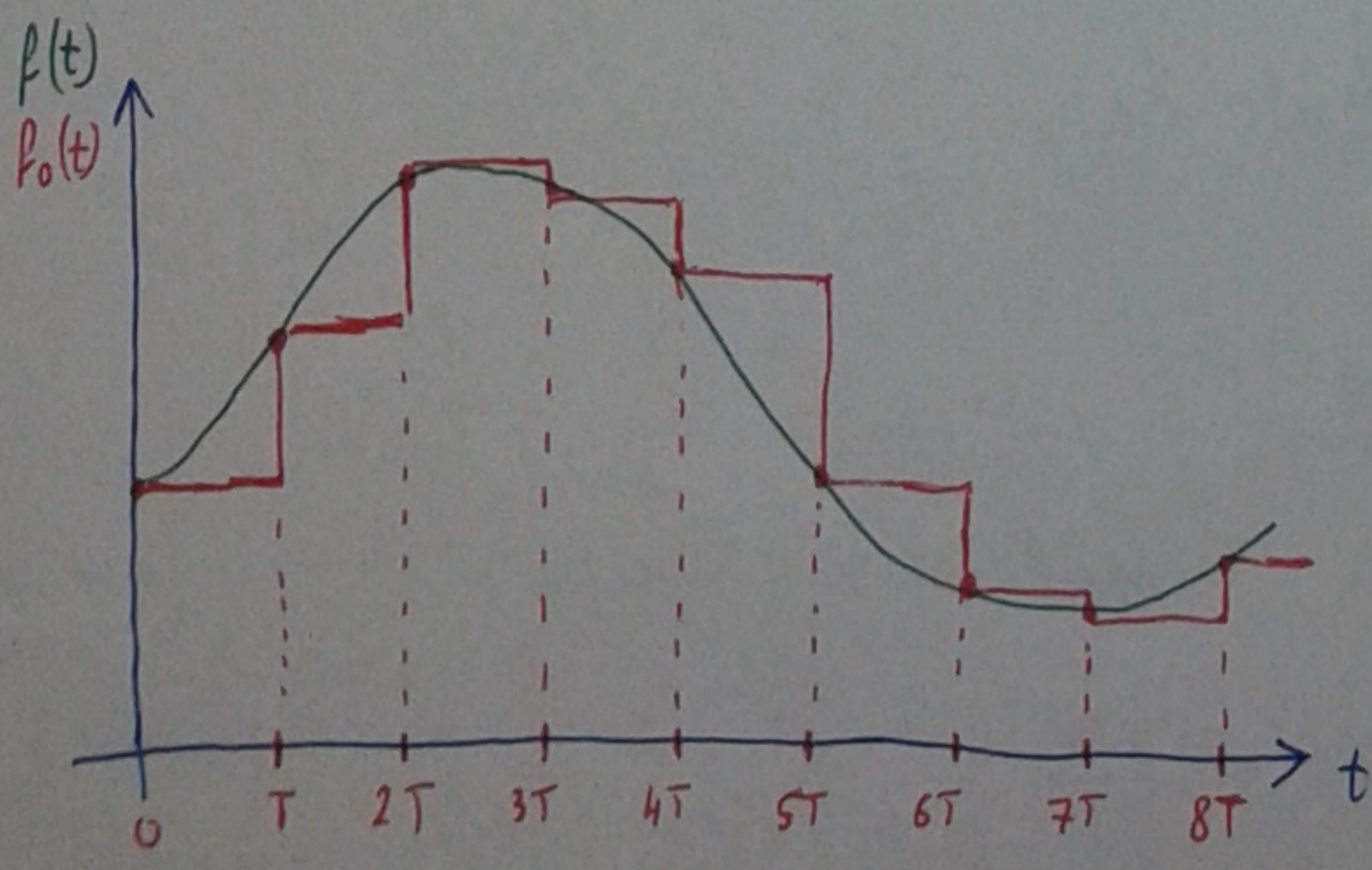
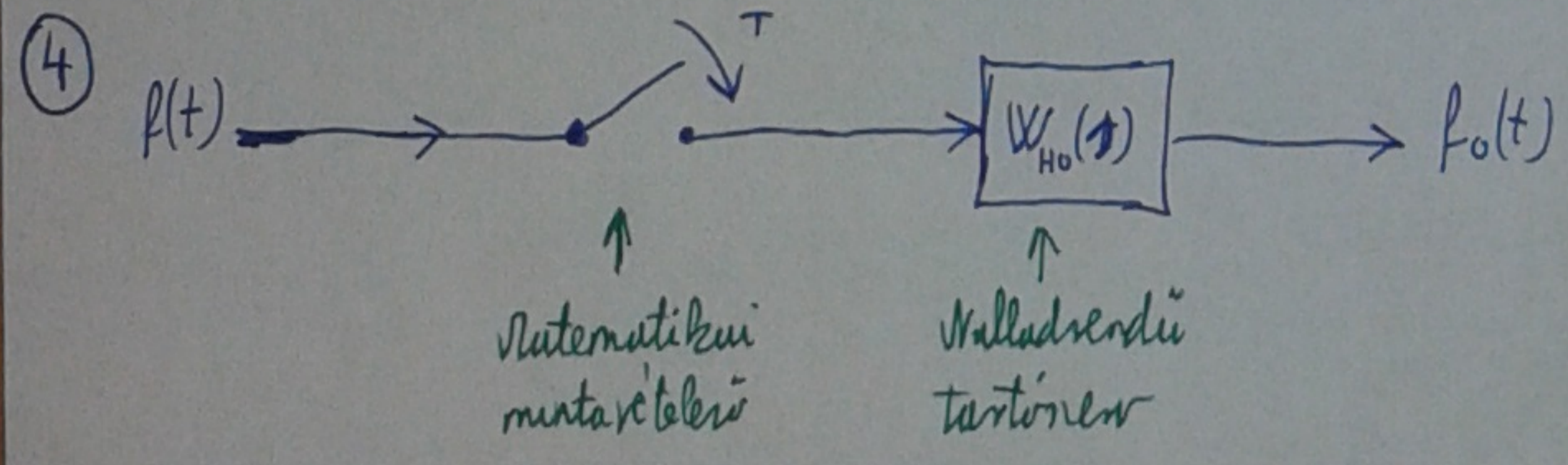
③ Ha az analóg jel sávkorlátozott is határ-körfrekvenciája $\omega_a = 2\pi f_a$, továbbá a mintavételi idő kielégíti a $T \leq \frac{\pi}{\omega_a} = \frac{1}{2f_a}$ feltételt, akkor az analóg jel rekonstruálható a matematikailag mintavételezett jeltől (az analóg jel mintáitól) egy T erősítésű ideális aluláteresztő nűvvel, amelynek határ-körfrekvenciája $\omega_N = \frac{\pi}{T} \gg$ Nyquist-körfrekvencia

(T mintavétel is az eredeti spektrumot az $\frac{1}{T}$ -ed részre nyomja össze is $\frac{2\pi}{T}$ -re ismét periodikusá teszi)



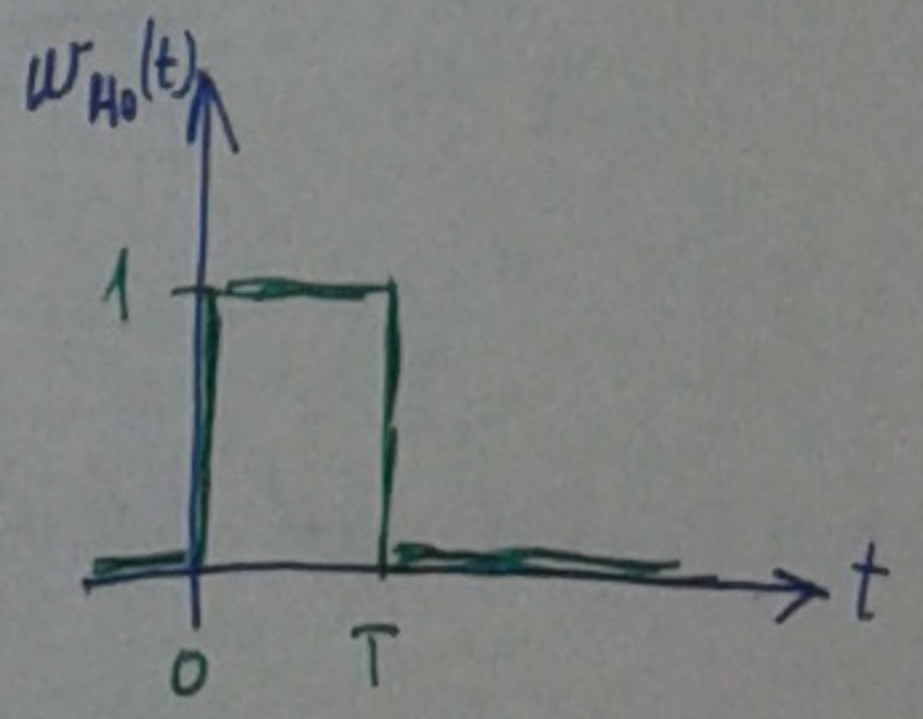
← FAPADOSAN:
Ha a periodikus spektrum egy periódusra nőkel mint $\frac{2\pi}{T}$, akkor a nűv ki tudja szűzni! Ha viszont nőlesel, akkor itlyolódik is a nűv nem tud egyáltalán periodikusá tenni!

$\frac{\pi}{T} = \omega_N \leftarrow$ Nyquist-körfrekvencia



Nulladrendű tartóelem:

$w_{H_0}(t) = \varepsilon(t) - \varepsilon(t-T)$



$W_{H_0}(s) = \frac{1}{s} - \frac{1}{s} \cdot e^{-sT} = \frac{1 - e^{-sT}}{s}$

$$W_{Ho}(j\omega) = \frac{1 - e^{-j\omega T}}{j\omega} = T \cdot \frac{e^{j\omega \frac{T}{2}} - e^{-j\omega \frac{T}{2}}}{2j} \cdot \frac{1}{\frac{\omega T}{2}} \cdot e^{-j\omega \frac{T}{2}} =$$

$$\underbrace{\frac{\sin(\frac{\omega T}{2})}{\frac{\omega T}{2}}}_{\text{Kis } T \text{ esetén}} \cdot e^{-j\omega \frac{T}{2}}$$

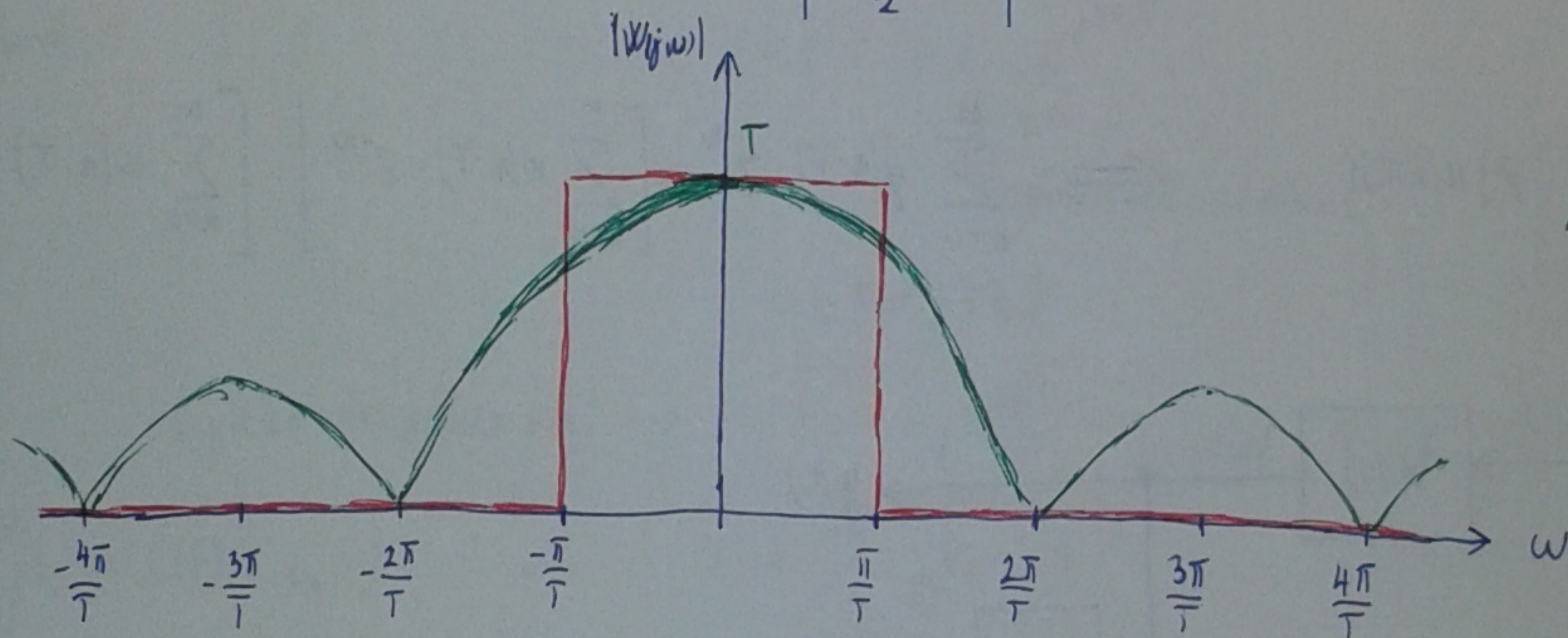
$$= T \cdot \frac{\sin(\frac{\omega T}{2})}{\frac{\omega T}{2}} \cdot e^{-j\omega \frac{T}{2}}$$

Ha $-\frac{2\pi}{T} < \omega < \frac{2\pi}{T}$
akkor a második tag
Amplitúdó nulla.

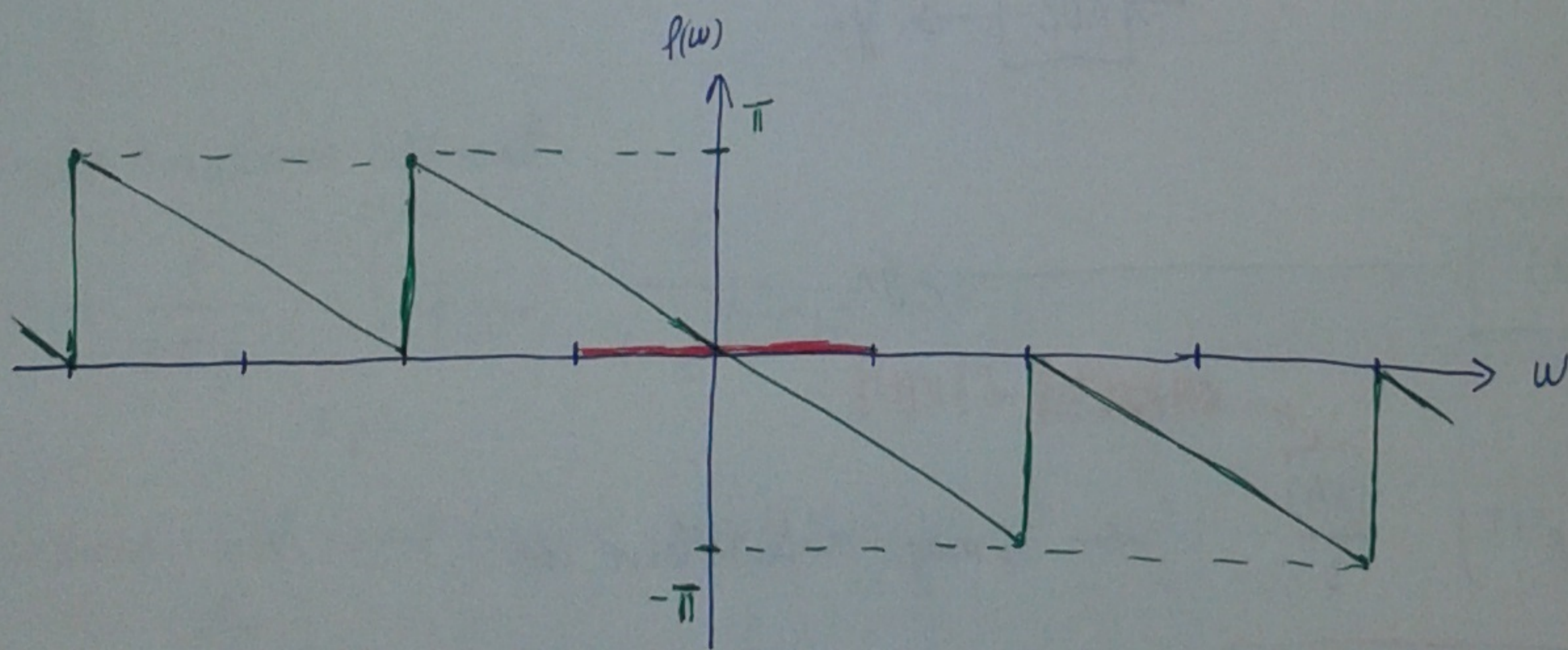
$$|W_{Ho}(j\omega)| = T \cdot \left| \frac{\sin(\frac{\omega T}{2})}{\frac{\omega T}{2}} \right| \approx T$$

$$\varphi_{Ho}(\omega) = -\omega \cdot \frac{T}{2} + \arg\left(\frac{\sin(\frac{\omega T}{2})}{\frac{\omega T}{2}}\right) \approx -\omega \frac{T}{2}$$

⑤ $W_{Ho}(z) = \frac{1 - z^{-1}}{z} \Rightarrow |W_{Ho}(j\omega)| = T \cdot \left| \frac{\sin(\frac{\omega T}{2})}{\frac{\omega T}{2}} \right|$ és $\varphi(\omega) = -\frac{\omega T}{2} + \arg \frac{\sin(\frac{\omega T}{2})}{\frac{\omega T}{2}}$



Piros - Ideális aluláteresztő
Zöld - Nulladrendű tartóerősítő



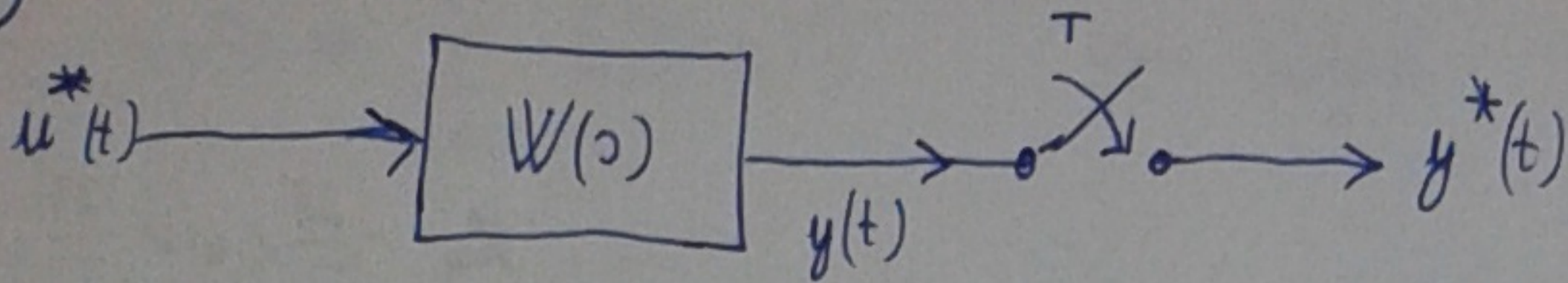
t_2 ideális aluláteresztő nívó nem kauszális, ugyanis viselkedésekor jövőbeli értékeket is figyelembe vesz.
Ez azonban nem realizálható! t nulladrendű tartóerősítő csaknemben realizálható, továbbá
ugyan Kis T esetén megközelítőleg azonos tulajdonságokkal bír mint az ideális aluláteresztő
nívó. $|W_{Ho}(j\omega)| \approx T$ és mivel T kicsi így $\varphi_{Ho}(\omega)$ is nagyon kis meredekségű lesz.

⑥ t ZOH alkalmazása olyan, mintha egy $\frac{T}{2}$ -es holdidő lenne a rendszerben.

Tehát a ZOH $\frac{\omega_c \cdot T}{2}$ -vel csökkenti a fázistartulékot (radiánban)

$$\frac{\omega_c \cdot T}{2} \leq 5^\circ \cdot \frac{2\pi}{360^\circ} \Rightarrow \boxed{\omega_c \cdot T \leq \frac{\pi}{18}}$$

⑦



$$\boxed{Y^*(s) = W^*(s) \cdot U^*(s)}$$

\Leftrightarrow

$$y(nT) = w(nT) * u(nT)$$

\Leftrightarrow

$$\mathcal{Z}\{y(nT)\} = \mathcal{Z}\{w(nT)\} \cdot \mathcal{Z}\{u(nT)\}$$

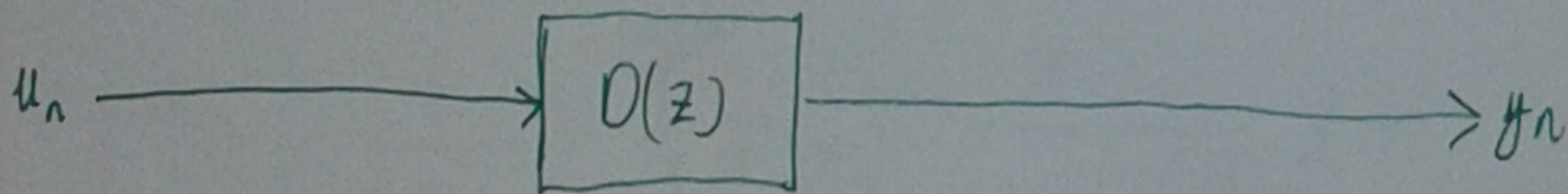
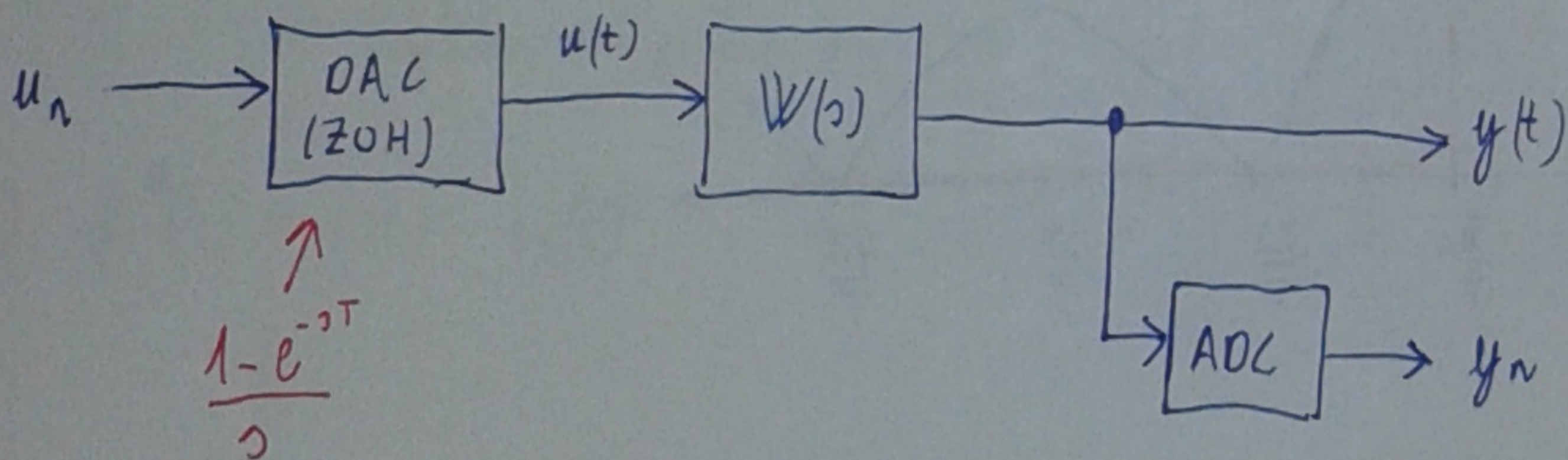
$$\Leftrightarrow \sum_{n=0}^{\infty} y(nT) \cdot e^{-snT} = \left[\sum_{n=0}^{\infty} w(nT) \cdot e^{-snT} \right] \cdot \left[\sum_{n=0}^{\infty} u(nT) \cdot e^{-snT} \right]$$

\Leftrightarrow

$$\text{Ha: } \boxed{z = e^{sT}}$$

$$\Leftrightarrow \sum_{n=0}^{\infty} y(nT) \cdot z^{-n} = \left[\sum_{n=0}^{\infty} w(nT) \cdot z^{-n} \right] \cdot \left[\sum_{n=0}^{\infty} u(nT) \cdot z^{-n} \right]$$

⑧



$$\frac{1-e^{-sT}}{s} \cdot W(s) = (1-e^{-sT}) \cdot \frac{W(s)}{s} \quad \leftarrow \text{és még mintavételre van!}$$

$$\boxed{D(z) = (1-z^{-1}) \cdot \mathcal{Z}\{v(nT)\}}$$

MATLAB-ban: $W(s) \rightarrow D(z)$, $c2d()$ függvényrel!

Például: $D = c2d(W, 0.1, 'zoh')$ $\leftarrow 0.1$ a mintavételi idő

Ilyenkor $W(s)$ minden s_i pólusa leképeződik $D(z)$ -nek egy z_i pólusává, melyre: $z_i = e^{s_i T}$
 \times zérusokra nem áll fenn ilyen összefüggés!

9

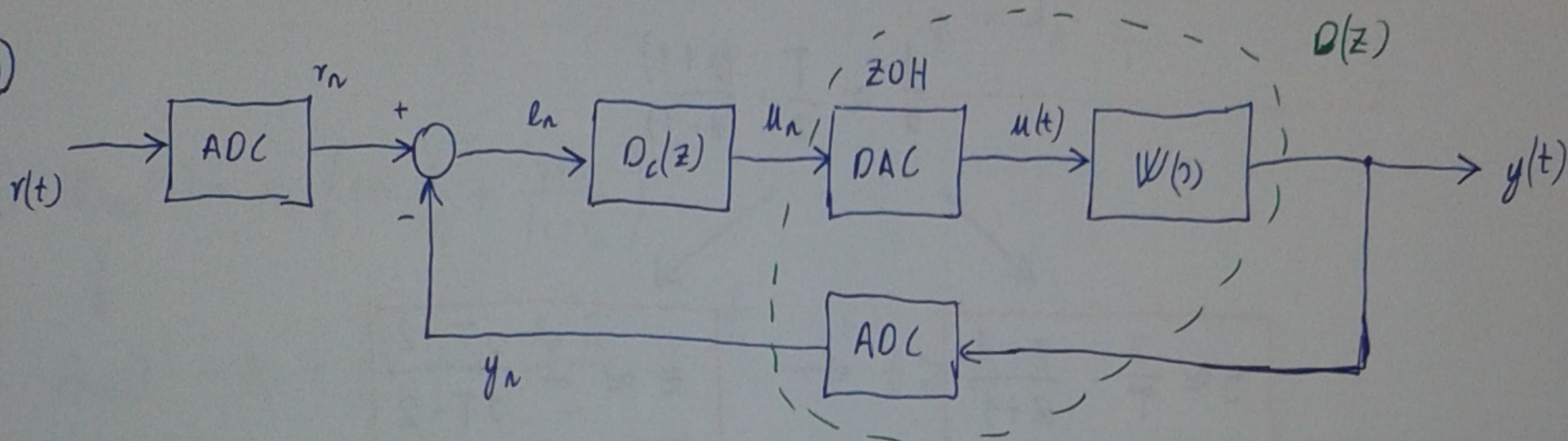
$$U(z) = \frac{u_0}{1-z^{-1}}$$

$$Y(z) = D(z) \cdot U(z) = D(z) \cdot \frac{u_0}{1-z^{-1}}$$

$$y(\infty) = \lim_{z \rightarrow 1} (1-z^{-1}) \cdot Y(z) = \lim_{z \rightarrow 1} \left[(1-z^{-1}) \cdot D(z) \cdot \frac{u_0}{1-z^{-1}} \right] = \lim_{z \rightarrow 1} (Dz \cdot u_0) = D(1) \cdot u_0$$

$$A = \frac{y(\infty)}{u_0} = \frac{D(1) \cdot u_0}{u_0} = D(1)$$

10



$$D(z) = (1-z^{-1}) \cdot Z\{v(n \cdot T)\} \leftarrow \text{lásd 8-as feladat}$$

$$D_{yr}(z) = \frac{D_c(z) \cdot D(z)}{1 + D_c(z) \cdot D(z)}$$

$$D_{ur}(z) = \frac{D_c(z)}{1 + D_c(z) \cdot D(z)}$$

11) differenciáló operátor körelítése z-vel.

$$\text{BWD: } \simeq \frac{z-1}{T \cdot z}$$

$$\text{FWD: } \simeq \frac{z-1}{T}$$

$\frac{1}{s}$ integráló operátor körelítése z-vel.

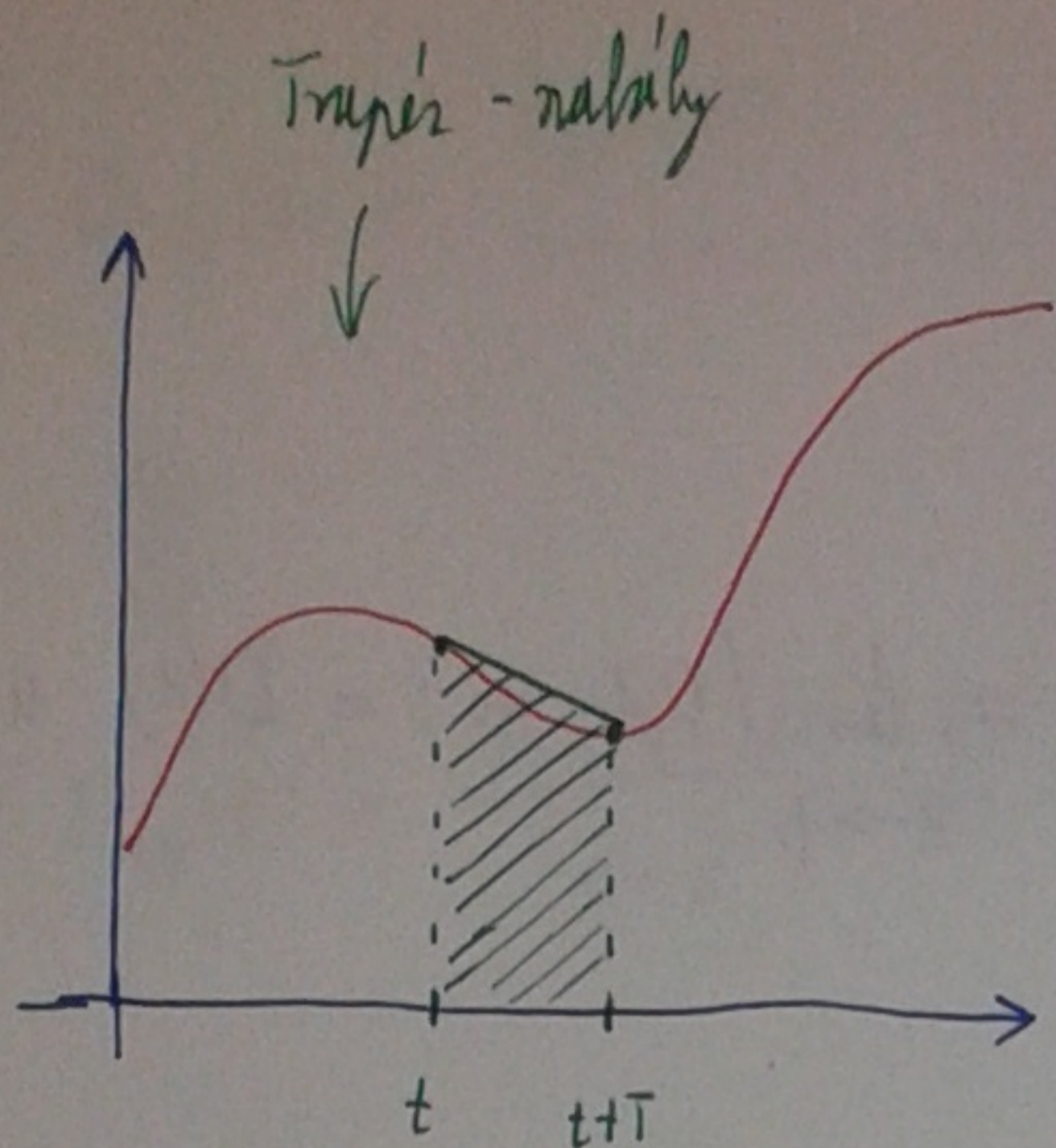
$$\text{LSR: } \frac{1}{s} \simeq \frac{T}{z-1} \Rightarrow \simeq \frac{z-1}{T}$$

$$\text{RSR: } \frac{1}{s} \simeq \frac{T \cdot z}{z-1} \Rightarrow \simeq \frac{z-1}{T \cdot z}$$

Hasonlóságok: RSR \equiv BWD

LSR \equiv FWD

12



$$\int_0^{t+T} y(\tau) d\tau \approx \int_0^t y(\tau) d\tau + \left[y(t) + y(t+T) \right] \cdot \frac{T}{2}$$

$$\Downarrow X = d\{y(t)\} \text{ is } \frac{1}{2} \cdot X = d\left\{ \int_0^t y(\tau) d\tau \right\}$$

$$z \cdot \frac{1}{2} \cdot X \approx \frac{1}{2} \cdot X + (X + z \cdot X) \cdot \frac{T}{2}$$

$$(z-1) \cdot \frac{1}{2} \approx (1+z) \cdot \frac{T}{2}$$

$$\frac{1}{2} \approx \frac{T}{2} \cdot \frac{(z+1)}{(z-1)}$$

$$z \approx \frac{2}{T} \cdot \frac{z-1}{z+1}$$

$$z \approx - \frac{2T+2}{2T-2}$$

$$W(s) \xrightarrow[\text{'tustin'}]{c2d} D(z)$$

$$D(z) \xrightarrow[\text{'tustin'}]{d2c} W(s)$$

Példa: $D = c2d(W, T_s, \text{'tustin'})$

$W = d2c(D, \text{'tustin'})$

13 $z \{v(n \cdot T)\} = D(z) \cdot \frac{1}{1-z^{-1}}$

↑ kimenet z transformáltja ↑ bemenet függvény ↑ bemenet (egységnyi Z transformáltja)

$$D(z) = (1-z^{-1}) \cdot z \{v(n \cdot T)\}$$

NATLAB-ban: c2d() függvény 'zoh' paraméterrel!
 * nulladrendű tartóelem kb egyenértékű az egységnyi ekvivalenciával!

14 $W_{PID}(s) = A_p \cdot \left(1 + \frac{1}{sT_i} + sT_D \right) \Downarrow z \approx \frac{z-1}{Tz} \quad (BWD \equiv RSR)$

$$D_{PID}(z) = A_p \cdot \left(1 + \frac{1}{T_i} \cdot \frac{Tz}{z-1} + \frac{z-1}{Tz} \cdot T_D \right) =$$

$$= A_p + A_p \cdot \frac{1}{T_i} \cdot \frac{T}{1-z^{-1}} + \frac{A_p \cdot T_D}{T} \cdot (1-z^{-1}) = \frac{A_p \cdot (1-z^{-1}) + \frac{A_p \cdot T}{T_i} + \frac{A_p \cdot T_D}{T} (1-2z^{-1}+z^{-2})}{1-z^{-1}}$$

$$D_{PID}(z) = \frac{A_p \cdot \left(1 + \frac{T}{T_i} + \frac{T_0}{T}\right) + (-A_p) \cdot \left(1 + \frac{2T_0}{T}\right) \cdot z^{-1} + A_p \cdot \frac{T_0}{T} \cdot z^{-2}}{1 - z^{-1}}$$



$$D_{PID}(z) = \frac{q_0 + q_1 \cdot z^{-1} + q_2 \cdot z^{-2}}{1 - z^{-1}} \Rightarrow$$

$$q_0 = A_p \cdot \left(1 + \frac{T}{T_i} + \frac{T_0}{T}\right)$$

$$q_1 = -A_p \cdot \left(1 + \frac{2T_0}{T}\right)$$

$$q_2 = A_p \cdot \frac{T_0}{T}$$

$$(15) \quad W_{PID}(s) = A_p \cdot \left(1 + \frac{1}{sT_i} + \frac{sT_0}{1+sT_c}\right)$$

$$\downarrow$$

$$v_{PID}(t) = A_p + \frac{A_p}{T_i} \cdot t + \frac{A_p \cdot T_0}{T_c} \cdot e^{-\frac{t}{T_c}} \rightarrow t \geq 0$$

$$\downarrow$$

$$v_{PID}(nT) = A_p + \frac{A_p \cdot T}{T_i} \cdot n + \frac{A_p \cdot T_0}{T_c} \cdot e^{-\frac{T}{T_c} \cdot n} \rightarrow n \geq 0$$

↓ egyenlőségűs elválasztás miatt

$$D_{PID}(z) = (1 - z^{-1}) \cdot z \left\{ v_{PID}(nT) \right\} = (1 - z^{-1}) \cdot \left[A_p \cdot \frac{1}{1 - z^{-1}} + \frac{A_p \cdot T}{T_i} \cdot \frac{z^{-1}}{(1 - z^{-1})^2} + \frac{A_p \cdot T_0}{T_c} \cdot \frac{1}{1 - z^{-1} \cdot e^{-\frac{T}{T_c}}} \right] =$$

↑
Nemzetes z

transzformáltakat felhívással (16-os feladatban meg vannak adva)

$$= A_p + \frac{A_p \cdot T}{T_i} \cdot \frac{z^{-1}}{1 - z^{-1}} + \frac{A_p \cdot T_0}{T_c} \cdot \frac{1 - z^{-1}}{1 - z^{-1} \cdot e^{-\frac{T}{T_c}}} =$$

$$= \frac{A_p \cdot (1 - z^{-1}) \cdot (1 - z^{-1} \cdot e^{-\frac{T}{T_c}}) + \frac{A_p \cdot T}{T_i} \cdot z^{-1} \cdot (1 - z^{-1} \cdot e^{-\frac{T}{T_c}}) + \frac{A_p \cdot T_0}{T_c} \cdot (1 - z^{-1})^2}{(1 - z^{-1}) \cdot (1 - z^{-1} \cdot e^{-\frac{T}{T_c}})} \equiv \frac{q_0 + q_1 \cdot z^{-1} + q_2 \cdot z^{-2}}{p_0 + p_1 \cdot z^{-1} + p_2 \cdot z^{-2}}$$

$$q_0 = A_p \cdot \left(1 + \frac{T_0}{T_c}\right)$$

$$q_1 = -A_p \cdot \left(1 + e^{-\frac{T}{T_c}} - \frac{T}{T_i} + \frac{2T_0}{T_c}\right)$$

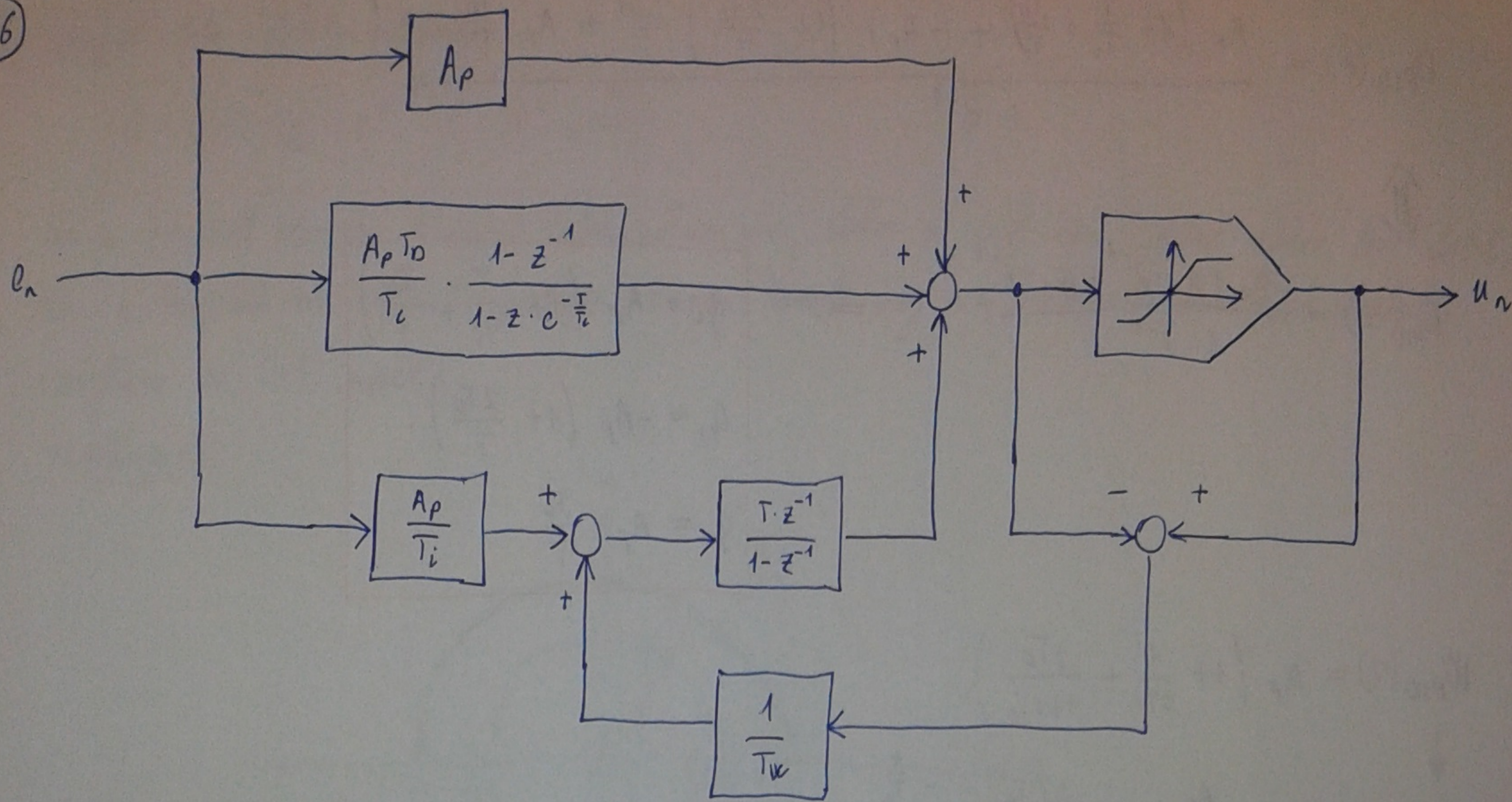
$$q_2 = A_p \cdot \left(e^{-\frac{T}{T_c}} - \frac{T}{T_i} \cdot e^{-\frac{T}{T_c}} + \frac{T_0}{T_c}\right)$$

$$p_0 = 1$$

$$p_1 = -\left(1 + e^{-\frac{T}{T_c}}\right)$$

$$p_2 = e^{-\frac{T}{T_c}}$$

16



Is a megoldás a kimeneten fellépő transziensek hatásának idejét csökkenteni!
 (t munkapont mindig a lineáris részen és a telítési részen túllikeresésnél áll meg)

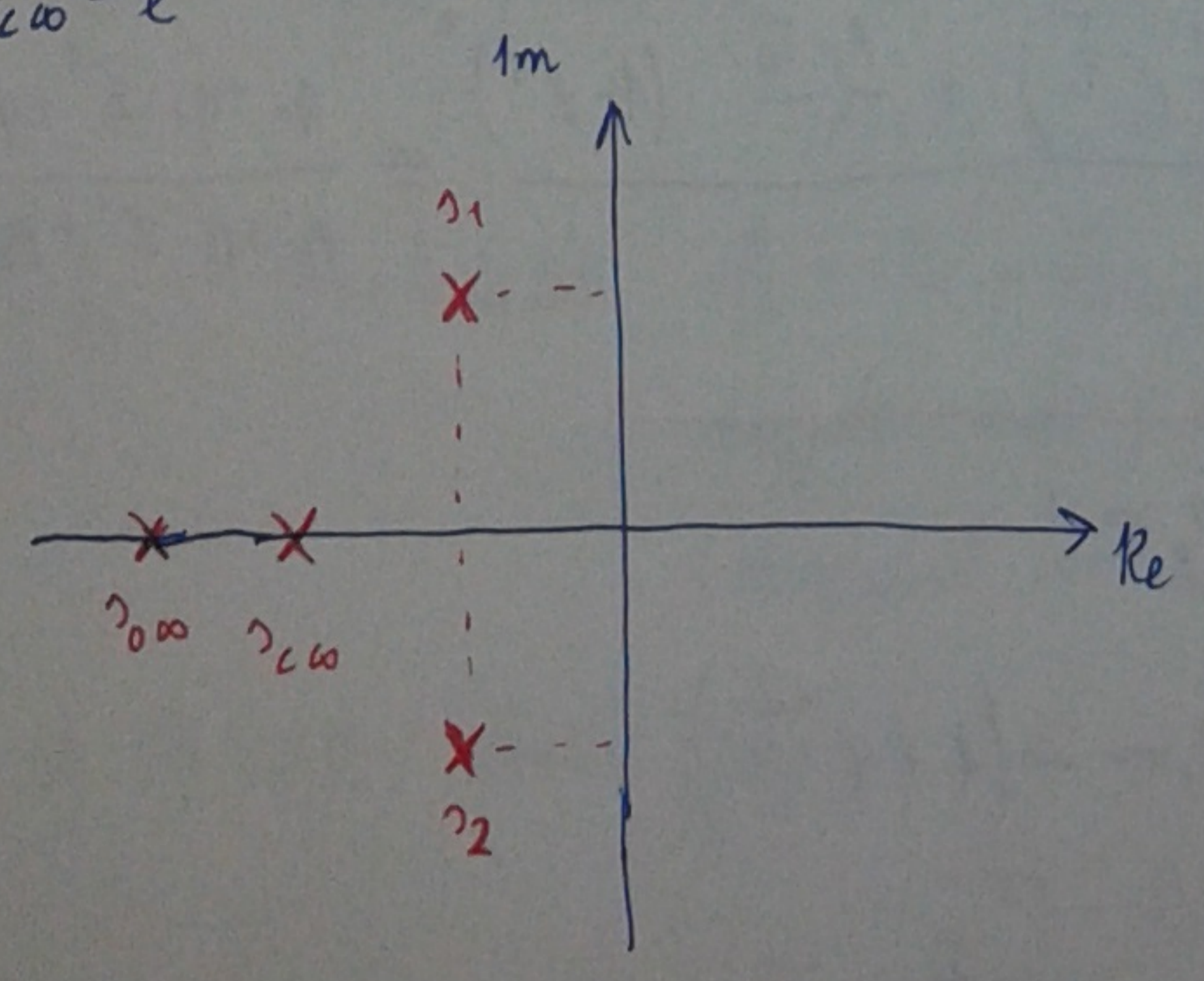
17) adott $f, \omega_0, \gamma_{0\omega}$ és $\gamma_{c\omega}$ ← általános alak: $z_i = e^{\gamma_i T}$

$$\gamma_{1,2} = -f \cdot \omega_0 \pm j \omega_0 \cdot \sqrt{1-f^2}$$

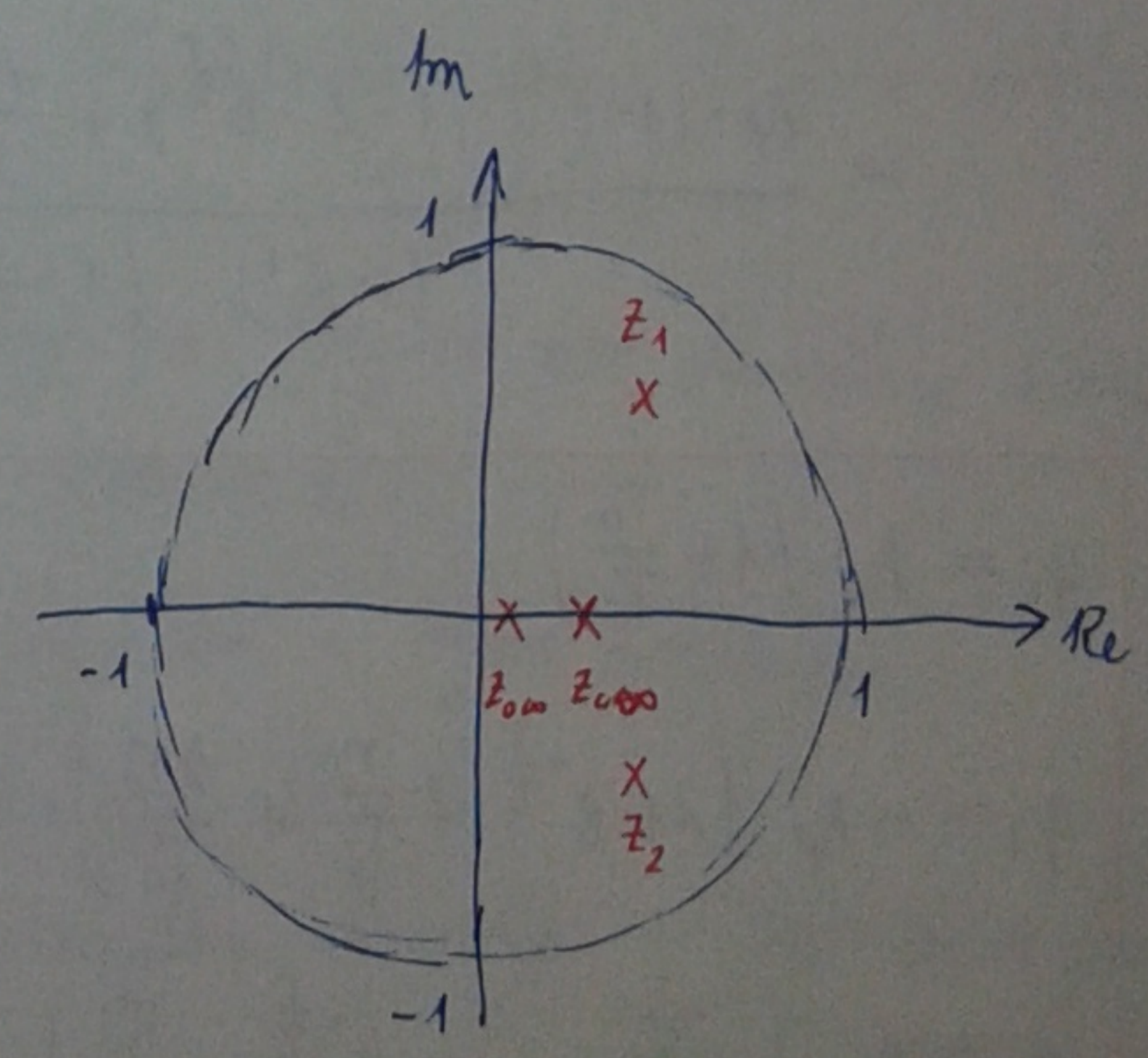
$$z_{1,2} = e^{(-f \omega_0 \pm j \omega_0 \sqrt{1-f^2}) \cdot T} = e^{-f \omega_0 T} \cdot e^{\pm j \omega_0 \sqrt{1-f^2} T} = e^{-f \omega_0 T} \cdot [\cos(\omega_0 \sqrt{1-f^2} \cdot T) \pm j \sin(\omega_0 \sqrt{1-f^2} \cdot T)]$$

$$z_{0\omega} = e^{\gamma_{0\omega} \cdot T}$$

$$z_{c\omega} = e^{\gamma_{c\omega} \cdot T}$$



⇒

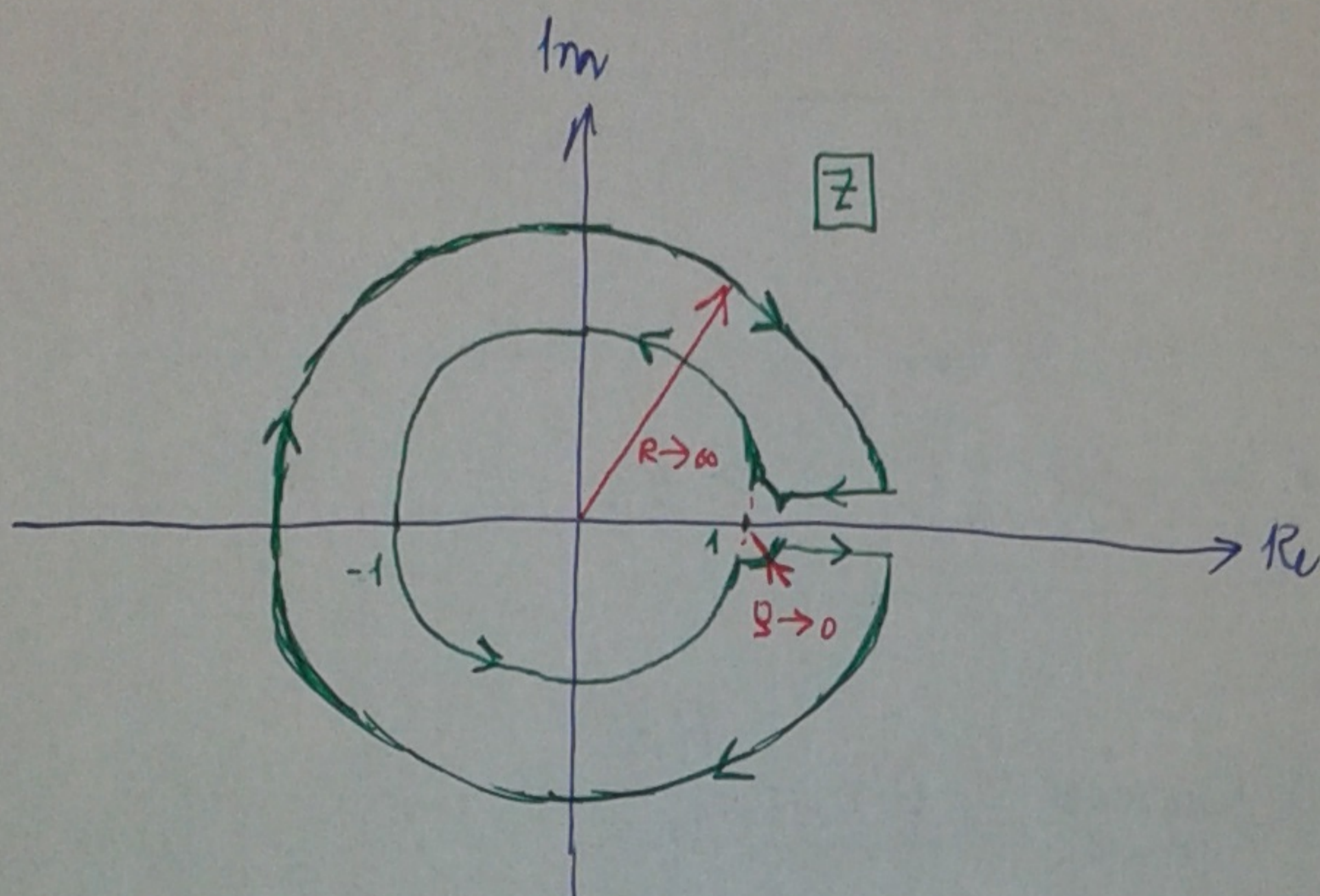


18 Nyquist-féle stabilitáskritérium:

$$EKVSZ(D_o(e^{j\omega T}), -1) = P$$

Ha a felnyitott körnek P darab labilis pólusa van, akkor a zárt kör csak akkor lesz stabil, ha a felnyitott kör Nyquist görbéje P -szer körüli megy az óramutató járáásával ellentétes irányban a (-1) pontot!

Kontúrgörbe:



Vegyük észre, hogy a kontúrgörkén haladva az egységkörön $z = e^{j\omega T}$ változik. Ha ω pozitív, akkor az egységkörnek a valós tengely feletti része rajzolódik, míg negatív omega esetén az alsó félre. (Az utóbbi képe a $D_o(e^{j\omega T})$ leképezésénél az egységkör felső fele képeinek tükrözése a valós tengelyre.) A felső félkörön $\omega=0$ esetén $z=1$ ponttól indulunk, az utolsó pont a felső félkörön pedig $z=-1 = e^{j\pi} = e^{j\omega T}$ esetén lesz $\Rightarrow \omega T = \pi$. Tehát az $\omega_N = \frac{\pi}{T}$ Nyquist-frekvenciánál. $0 \leq \omega \leq \frac{\pi}{T}$

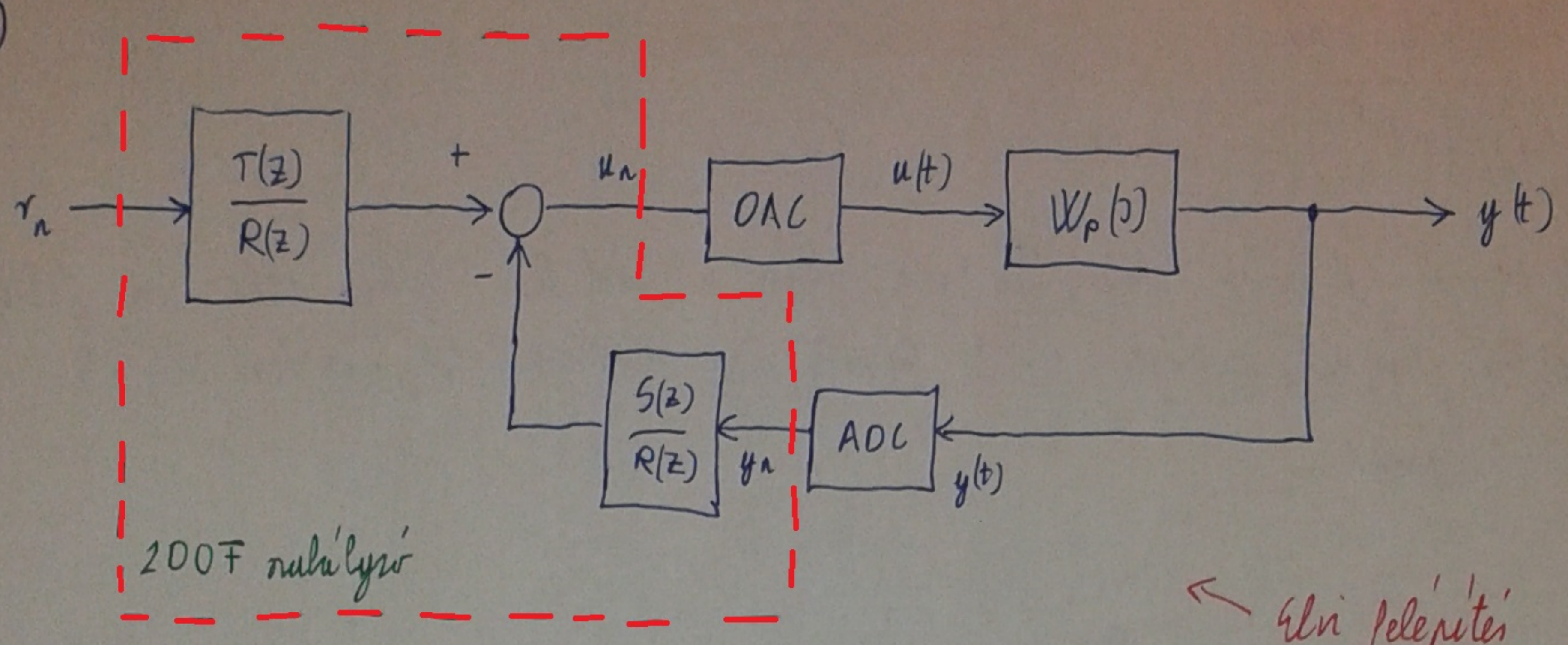
19 Bode-féle stabilitási kritérium \leftarrow + felnyitott körnek nincsen labilis pólusa!

+ zárt kör akkor is csak akkor stabil, ha a felnyitott kör ϕ_c fázistartaléka pozitív!

ω_c - Vágási frekvencia: az a frekvencia, melyen a felnyitott kör erősítése 0 dB-s szinten. (Ez az amplitúdómenet mérni az ω tengelyt!)

ϕ_c - Fázistartalék: $\phi_c = 180^\circ + \phi(\omega_c)$ Megadja, hogy a felnyitott kör fázistolása mennyivel nagyobb mint (-180°) a vágási frekvencián. (Mennyivel van a fázisgörbe -180° felett a vágási frekvencián)

+ MATLAB Bode függvénye a $z = e^{j\omega T}$ helyettesítéssel él és az $0 \leq \omega \leq \frac{\pi}{T}$ tartományban ábrázolja a Bode diagramot!



← élni felépítés

← belső megvalósítás

$$R(z) \cdot u_n(z) = T(z) \cdot r_n(z) - S(z) y_n(z) \rightarrow u_n$$

szükség diszkrétidejű átviteli függvénye: $D(z) = \frac{B(z)}{A(z)}$

zárt rendszer referenciá modellje: $\frac{B_m(z)}{A_m(z)}$ és a megfigyelő polinom: $A_o(z)$

Legyen $B(z) = B^+(z) \cdot B^-(z)$

$B^+(z)$ - szűk körű nulla-jának kijelölhető gyökei: azok a gyökök, melyek az egységkörön belülre esnek, ezek és nem tisztán negatív valós értékek! ← stabil polinom

$B^-(z)$ - szűk körű nulla-jának nem kijelölhető gyökei: azok a gyökök, melyek az egységkörön kívülre esnek, vagy belülre esnek, de tisztán negatív valós értékek! ← Nem stabil

* nulla lyzó integrátorainak száma: l

$$R(z) = B^+ \cdot R' = B^+ \cdot (z-1)^l \cdot R_1'$$

$$B_m(z) = B^- \cdot B_m'$$

$$T(z) = B_m' \cdot A_o$$

Diophantoni egyenlet: $A \cdot (z-1)^l \cdot R_1' + B^- \cdot S = A_m \cdot A_o \Rightarrow S(z)$ és $R_1'(z)$ meghatározása

ezek mind az eredeti egyenletből következnek: $D_{cl}(z) = \frac{B(z) \cdot T(z)}{A(z)R(z) + B(z)S(z)} = \frac{B_m(z)}{A_m(z)} \cdot \frac{A_o(z)}{A_o(z)}$

(21)

$$\text{gr } A_m = \begin{cases} 2, & \text{ha } \text{gr } B^- = 0 \\ 1 + \text{gr } B^-, & \text{éjjelként} \end{cases} \Rightarrow \text{gr } A_m = 1 + 2 = 3$$

$$\text{gr } S = \text{gr } A + l - 1 \Rightarrow \text{gr } S = 3 + 1 - 1 = 3$$

$$\text{gr } A_0 = \text{gr } A + l - 1 - \begin{cases} 1, & \text{ha } \text{gr } B^- = 0 \\ 0, & \text{éjjelként} \end{cases} \Rightarrow \text{gr } A_0 = 3 + 1 - 1 - 0 = 3$$

$$\text{gr } R_1' = \text{gr } B^- \Rightarrow \text{gr } R_1' = 2$$

További ismert: $B_m' = \frac{A_m(1)}{B^-(1)}$; $B^+ = 1$; $\text{gr } B^- = 2$; $\text{gr } A = 3$ és $l = 1$

Valamint adott: $z_{1,2}$ (domináns póluszár); $z_{c,\infty}$ és $z_{0,\infty}$

Íz A_m és A_0 polinomokat a gyökeik segítségével adjuk meg + pókusfeltételek

$$A_0(z) = (z - z_{0,\infty})^3$$

↑
mivel $\text{gr } A_0 = 3$

$$A_m(z) = (z - z_1) \cdot (z - z_2) \cdot (z - z_{c,\infty})$$

↑
egyenes multiplivitással legyen ez a tag, mivel $\text{gr } A_m = 3$ kell hogy legyen!

Íz S és R_1' polinomok meghatározása:

$$R_1'(z) = z^2 + r_1 z + r_2$$

$$S(z) = s_0 z^3 + s_1 z^2 + s_2 z + s_3$$

Megoldandó Diophantoni egyenlet lineáris egyenletrendszer alakjában:

$$A \cdot (z-1)^l \cdot X + B^- \cdot Y = A_m \cdot A_0$$

$$\underbrace{\quad}_A \quad \underbrace{\quad}_B \quad \underbrace{\quad}_C$$

← és maga a diophantoni egyenlet
ízl jelen esetben $X = R_1'$ és $Y = S$

$$A = z^4 + a_1 z^3 + a_2 z^2 + a_3 z + a_4$$

$$B = b_0 z^2 + b_1 z + b_2$$

$$C = z^6 + c_1 z^5 + c_2 z^4 + c_3 z^3 + c_4 z^2 + c_5 z + c_6$$

\Rightarrow Felírható lineáris egyenletrendszer mátrixos alakban:

$$\underbrace{\begin{pmatrix} 1 & 0 & b_0 & 0 & 0 & 0 \\ a_1 & 1 & b_1 & b_0 & 0 & 0 \\ a_2 & a_1 & b_2 & b_1 & b_0 & 0 \\ a_3 & a_2 & 0 & b_2 & b_1 & b_0 \\ a_4 & a_3 & 0 & 0 & b_2 & b_1 \\ 0 & a_4 & 0 & 0 & 0 & b_2 \end{pmatrix}}_{\text{Toeplitz-blokkok}} \cdot \begin{pmatrix} r_1 \\ r_2 \\ \hline r_0 \\ r_1 \\ r_2 \\ r_3 \end{pmatrix} = \begin{pmatrix} c_1 - a_1 \\ c_2 - a_2 \\ c_3 - a_3 \\ c_4 - a_4 \\ c_5 \\ c_6 \end{pmatrix}$$

(22) Megoldandó Diophantini egyenlet: $A \cdot (z-1) \cdot R_1 + B \cdot S = A_m \cdot A_0 \leftarrow$ keressük R_1 -et 5 polinomoként!

t_2 ezzel ekvivalens lineáris egyenletrendszer mátrixos alakban:
(Felhasználva a feladatkiírásban megadott adatokat és egyenleteket)

$$\underbrace{\begin{pmatrix} 1 & 0 & b_0 & 0 & 0 & 0 \\ \tilde{a}_1 & 1 & b_1 & b_0 & 0 & 0 \\ \tilde{a}_2 & \tilde{a}_1 & b_2 & b_1 & b_0 & 0 \\ \tilde{a}_3 & \tilde{a}_2 & 0 & b_2 & b_1 & b_0 \\ \tilde{a}_4 & \tilde{a}_3 & 0 & 0 & b_2 & b_1 \\ 0 & \tilde{a}_4 & 0 & 0 & 0 & b_2 \end{pmatrix}}_{\underline{x}} \cdot \begin{pmatrix} r_1 \\ r_2 \\ \hline r_0 \\ r_1 \\ r_2 \\ r_3 \end{pmatrix} = \underbrace{\begin{pmatrix} c_1 - \tilde{a}_1 \\ c_2 - \tilde{a}_2 \\ c_3 - \tilde{a}_3 \\ c_4 - \tilde{a}_4 \\ c_5 \\ c_6 \end{pmatrix}}_{\underline{y}}$$

$[\text{inv}(\underline{x}) \cdot \underline{y}]$ egy 6 soros 1 oszlopos vektor melynek első két tagja adja R_1 polinom együtthatóit, utolsó 4 tagja pedig S polinom együtthatóit.

B_m' meghatározása: $1 = \frac{B_m' \cdot B^{-1}(1)}{A_m(1)} = \frac{B_m(1)}{A_m(1)} \Rightarrow B_m' = \frac{A_m(1)}{B^{-1}(1)} \leftarrow$ ez azért kell, hogy a nullát végértékbe egyenlőségűségi állapothoz 1 legyen!

$T(z), R(z)$ és $S(z)$: $\rightarrow S(z) = r_0 \cdot z^3 + r_1 \cdot z^2 + r_2 \cdot z + r_3 \leftarrow$ Fenti lineáris egyenletrendszer megoldásából

$\rightarrow T(z) = B_m' \cdot A_0(z) = \frac{A_m(1)}{B^{-1}(1)} \cdot (z - z_{00})^3$ r_1 és r_2 a fenti egyenletrendszerből

$\rightarrow R(z) = B^+(z) \cdot (z-1)^{-1} \cdot R_1'(z) = \frac{B(z)}{B^{-1}(z)} \cdot (z-1) \cdot (z^2 + r_1 z + r_2) = z^3 + (r_1 - 1)z^2 + (r_2 - r_1)z - r_2$

23) Bilineáris (Tustin) transformáció:

$$w = \frac{2}{T} \cdot \frac{z-1}{z+1}$$



$$z = \frac{1 + w \cdot \frac{T}{2}}{1 - w \cdot \frac{T}{2}}$$

$$D(z) = A_z \cdot \frac{\prod_{i=1}^m (z - z_{oi})}{(z-1)^l \cdot \prod_{i=1}^n (z - z_i)}$$

← ez volt megadva a feladatkészletben

† fenti transformációt felhasználva:

$$z - z_i \rightarrow \frac{1 + w \frac{T}{2}}{1 - w \frac{T}{2}} - z_i = (1 - z_i) \cdot \frac{1 + w \frac{T}{2} \cdot \frac{1 + z_i}{1 - z_i}}{1 - w \frac{T}{2}}$$

$$z - 1 \rightarrow \frac{1 + w \frac{T}{2}}{1 - w \frac{T}{2}} - 1 = \frac{w T}{1 - w \frac{T}{2}}$$

† fenti összefüggéseket felhasználva:

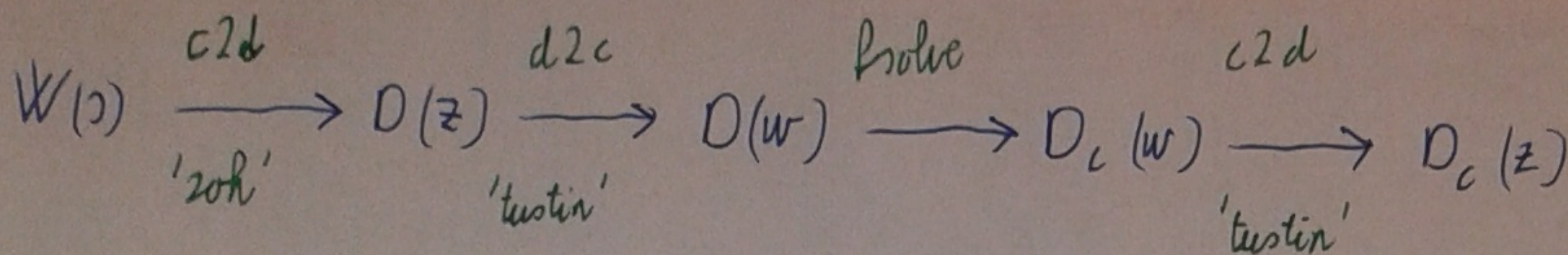
$$D(z) \rightarrow D(w) = A_w \cdot \frac{(1 - w \frac{T}{2})^{l+n-m} \cdot \prod_{i=1}^m \left(1 + w \frac{T}{2} \cdot \frac{1 + z_{oi}}{1 - z_{oi}}\right)}{w^l \cdot \prod_{i=1}^n \left(1 + w \frac{T}{2} \cdot \frac{1 + z_i}{1 - z_i}\right)}$$

$$A_w = A_z \cdot \frac{\prod_{i=1}^m (1 - z_{oi})}{T^l \cdot \prod_{i=1}^n (1 - z_i)}$$

Mivel általában $n > m$, ezért mindig fellelhető legalább egy nem minimumfázisú (azaz a jelt fordítottan lévő) részes hely a $w = \frac{2}{T}$ helyen. (Általában $l+n-m$ ilyen részes van!) Ezekhez a részesekhez $- \arg(w \frac{T}{2})$ negatív fázisrész tartozik, ami nem irányítja (ez az ismételt) a fázistöbbletet!

befolyásolja

24

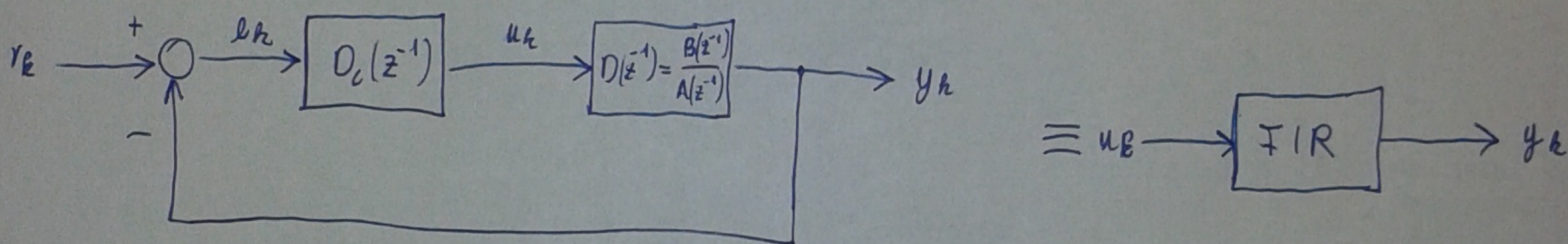


$D_c(w)$ nullhelyi tervezéshez szükséges egyenletrendszer:

$$\left. \begin{aligned} |D(j\omega_c) \cdot D_c(j\omega_c)| - 1 &= 0 \\ \pi + \arg D(j\omega_c) + \arg D_c(j\omega_c) - \varphi_t &= 0 \\ D_c\left(w = \frac{z}{T}\right) - u_{max} &= 0 \end{aligned} \right\} \Rightarrow F(x) = 0$$

ahol $x = (\omega_c, A_{cw}, T_c)^T$ a megvalósítandó vektorok!

- 25 Tervezési célkitűzések:
- Egységyenű alajjelváltás esetén a hiba véges z^{-1} lépés után nulljón meg \Rightarrow a zárt rendszer átviteli függvénye z^{-1} véges fokszámú polinomja.
 - $D_{wr}(z^{-1})$ is szintén z^{-1} -nek véges fokszámú polinomja legyen!



$$K(z^{-1}) = \frac{D_c(z^{-1}) \cdot D(z^{-1})}{1 + D_c(z^{-1}) \cdot D(z^{-1})} \quad \text{és} \quad M(z^{-1}) = \frac{D_c(z^{-1})}{1 + D_c(z^{-1}) \cdot D(z^{-1})}$$

↑
minimális FIR típusú kell hogy legyen

$$D \cdot M = K \Leftrightarrow \frac{B}{A} \cdot \pi = K \Rightarrow \frac{B}{A} = \frac{K}{\pi} \Rightarrow \text{létezik egy olyan } L \text{ konstans polinom, hogy:}$$

$$B \cdot L = K \quad \text{és} \quad A \cdot L = \pi$$

$$\frac{D_c}{1 + D_c \cdot D} = \pi \Rightarrow D_c = \pi + \pi D_c \cdot D \Rightarrow D_c = \frac{\pi}{1 - D \cdot \pi} = \frac{L \cdot A}{1 - \frac{B}{A} \cdot L \cdot A} = \frac{L \cdot A}{1 - L \cdot B}$$

Így $D_c(z^{-1}) = \frac{L(z^{-1}) \cdot A(z^{-1})}{1 - L(z^{-1}) \cdot B(z^{-1})}$ alakú a nullhelyünk!

$\left[\begin{array}{l} \text{Mivel } \text{gr } L = p \text{ és } \text{gr } B = m \\ \text{és} \text{ért } \text{gr } K = \text{gr } (L \cdot B) = m + p \end{array} \right] \Rightarrow K(z^{-1}) = k_0 + k_1 z^{-1} + \dots + k_{m+p} z^{-(m+p)} = \frac{k_0 z^{m+p} + \dots + k_{m+p}}{z^{m+p}}$

↑
a zárt rendszer MINDEN pólusa $z=0$ -ban van!

(26) $L(z^{-1}) = b_0 + b_1 \cdot z^{-1}$ $y_{e=\infty} = \lim_{z \rightarrow 1} (z-1) \cdot K(z) \cdot \frac{z}{z-1} = K(1)$

Ha $r_k = \epsilon_k \Rightarrow y_N = 1 \equiv K(1) = B(1) \cdot L(1)$

$1 = (b_0 + b_1) \cdot \sum b_i$

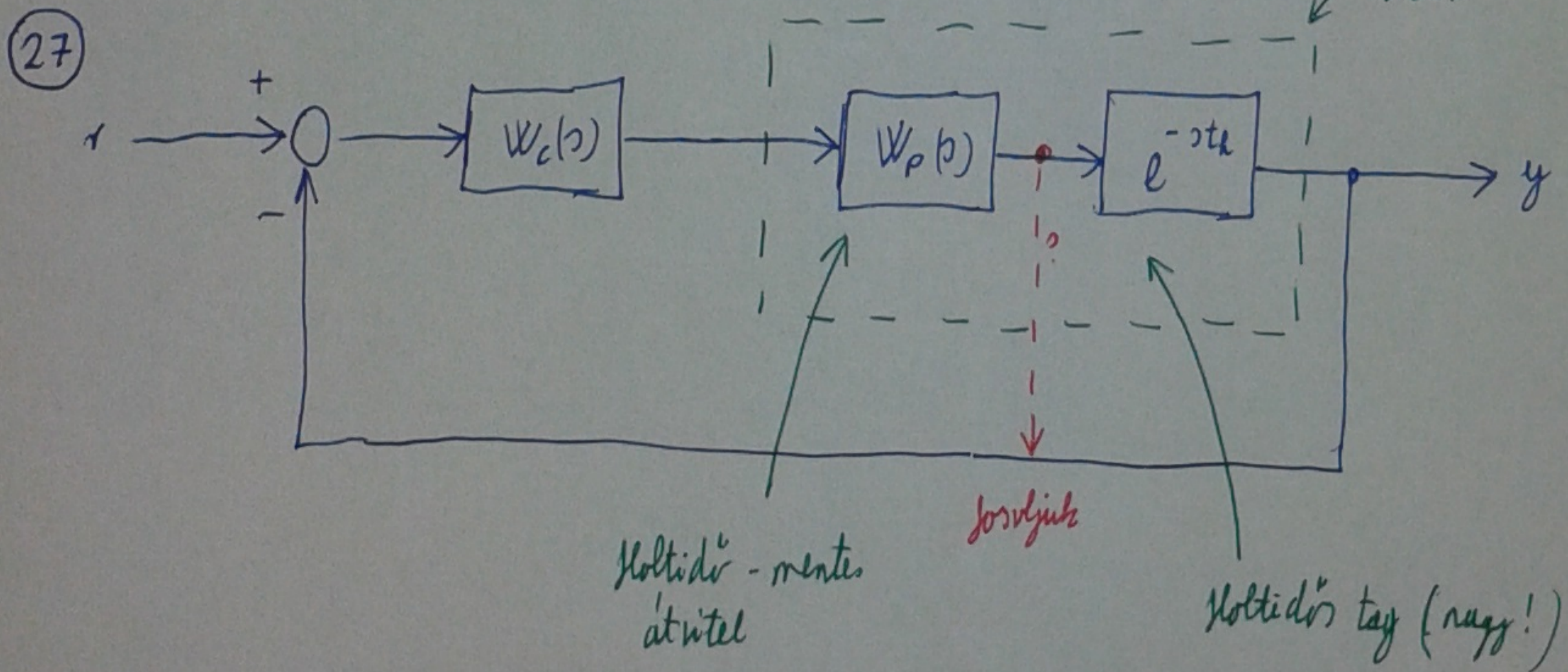
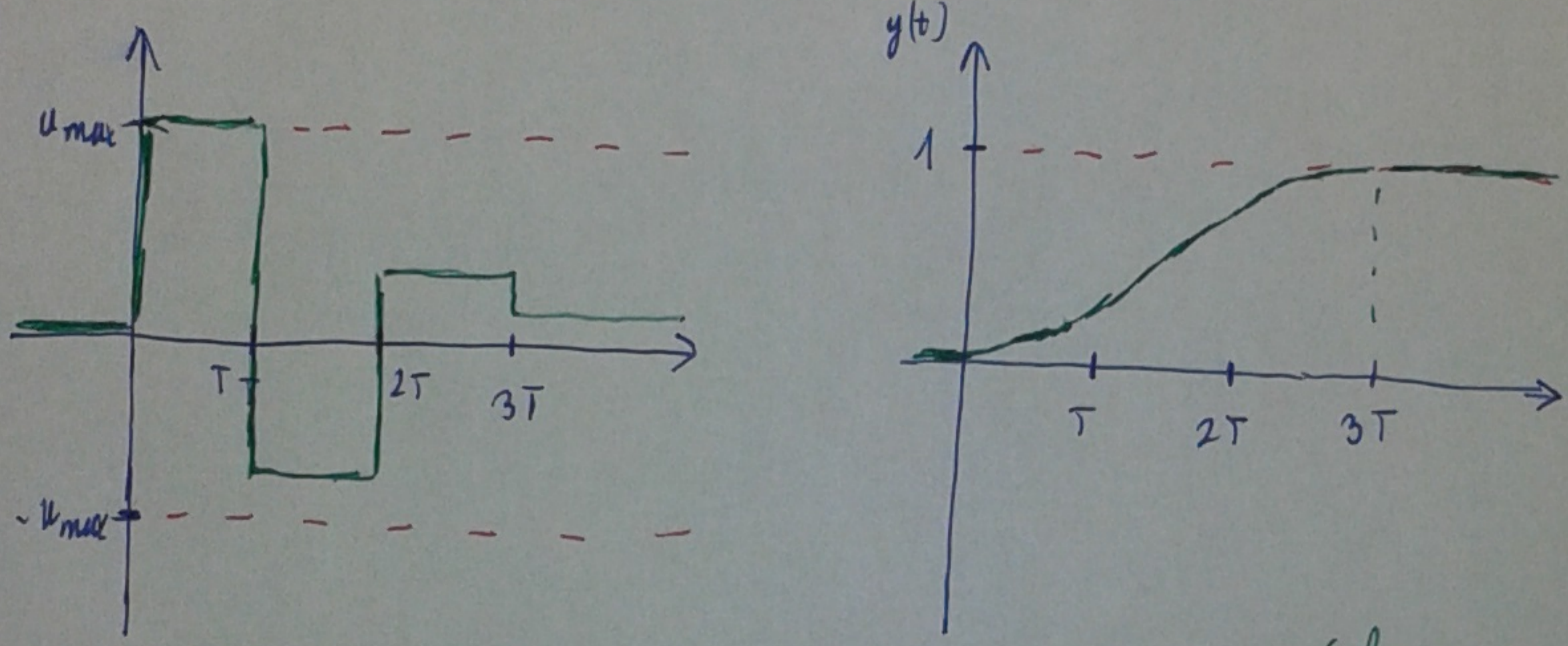
Ha $r_k = \xi_k \Rightarrow u_0 = u_{max} = \Pi(0) = a_0 \cdot b_0$

$b_0 = \frac{u_{max}}{a_0}$
 $b_1 = \frac{1}{\sum_i b_i} - \frac{u_{max}}{a_0}$

Virtuális illő meghatározás:

$f(T) = \frac{|\max_{i=1..N} \{ |u_i| \} - u_{max}|}{u_{max}} + |\max_{i=1..N} \{ |y_i| \} - 1|$

+ nekem u_n kimenő és $y(t)$ kimenő jelének ideális alakja: pl: $n+p=3$



Ha jól meg tudja választani $W_p(s)$ -t akkor készíthető olyan szabályozási kör, amely olyan, mintha csak a kimenetén lenne kíséltetés!